

Zeitschrift: Bericht der Eidgenössischen Kommission zur Überwachung der Radioaktivität
Herausgeber: Eidgenössische Kommission zur Überwachung der Radioaktivität
Band: 27 (1983)
Anhang: [Abbildungen = Images]

Nutzungsbedingungen

Die ETH-Bibliothek ist die Anbieterin der digitalisierten Zeitschriften auf E-Periodica. Sie besitzt keine Urheberrechte an den Zeitschriften und ist nicht verantwortlich für deren Inhalte. Die Rechte liegen in der Regel bei den Herausgebern beziehungsweise den externen Rechteinhabern. Das Veröffentlichen von Bildern in Print- und Online-Publikationen sowie auf Social Media-Kanälen oder Webseiten ist nur mit vorheriger Genehmigung der Rechteinhaber erlaubt. [Mehr erfahren](#)

Conditions d'utilisation

L'ETH Library est le fournisseur des revues numérisées. Elle ne détient aucun droit d'auteur sur les revues et n'est pas responsable de leur contenu. En règle générale, les droits sont détenus par les éditeurs ou les détenteurs de droits externes. La reproduction d'images dans des publications imprimées ou en ligne ainsi que sur des canaux de médias sociaux ou des sites web n'est autorisée qu'avec l'accord préalable des détenteurs des droits. [En savoir plus](#)

Terms of use

The ETH Library is the provider of the digitised journals. It does not own any copyrights to the journals and is not responsible for their content. The rights usually lie with the publishers or the external rights holders. Publishing images in print and online publications, as well as on social media channels or websites, is only permitted with the prior consent of the rights holders. [Find out more](#)

Download PDF: 15.04.2026

ETH-Bibliothek Zürich, E-Periodica, <https://www.e-periodica.ch>

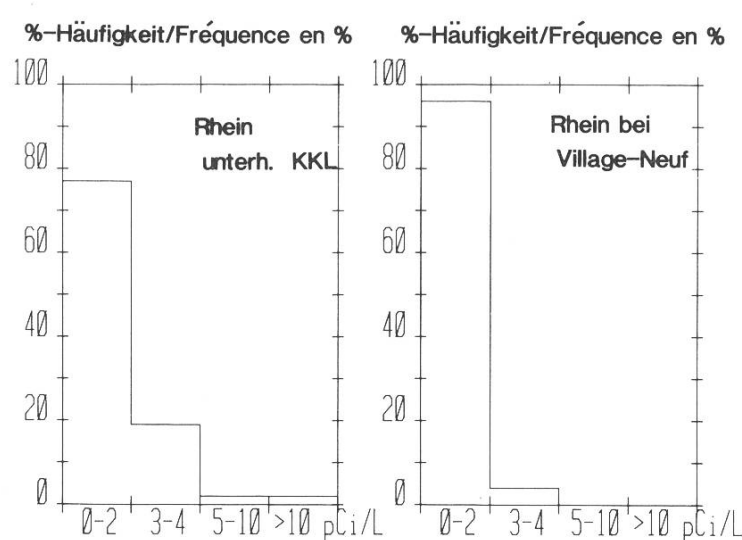
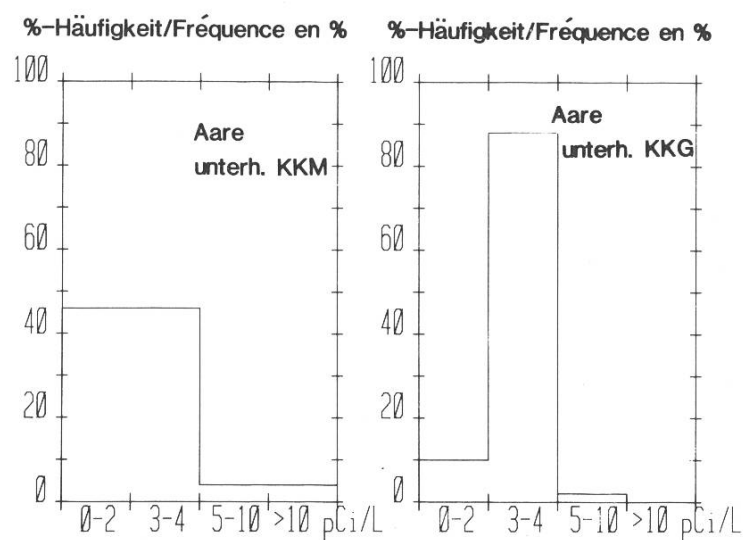
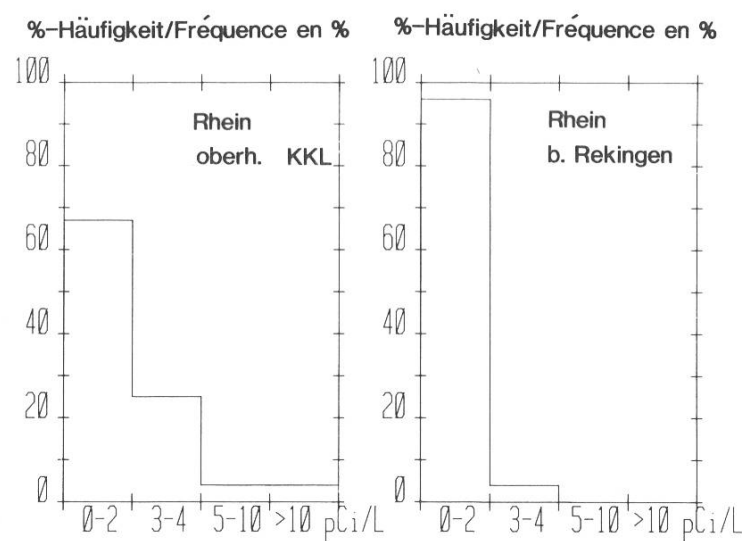
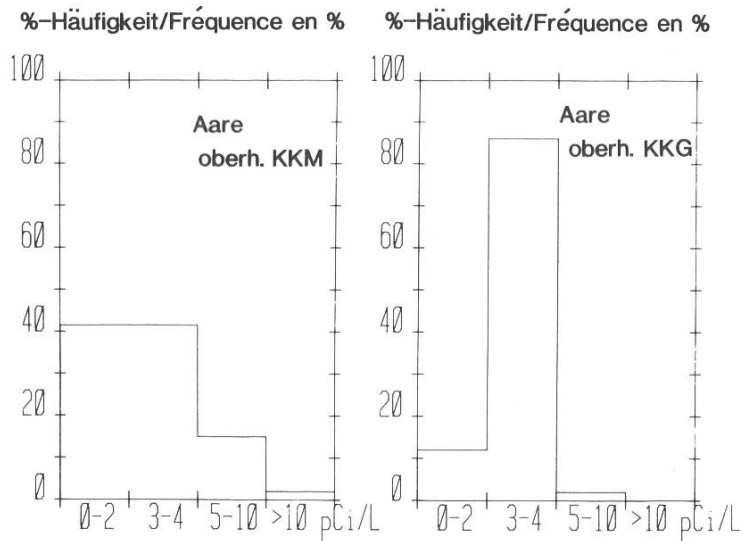


Fig. 1: Gesamt-Beta-Aktivität im Wasser von Aare und Rhein, 1983
 Activité bêta totale dans l'eau de l'Aare et du Rhin, 1983

Fig. 2: Tritiumaktivität im Niederschlag und Flusswasser, 1983
Activité en tritium des précipitations et des eaux flu-
viales, 1983

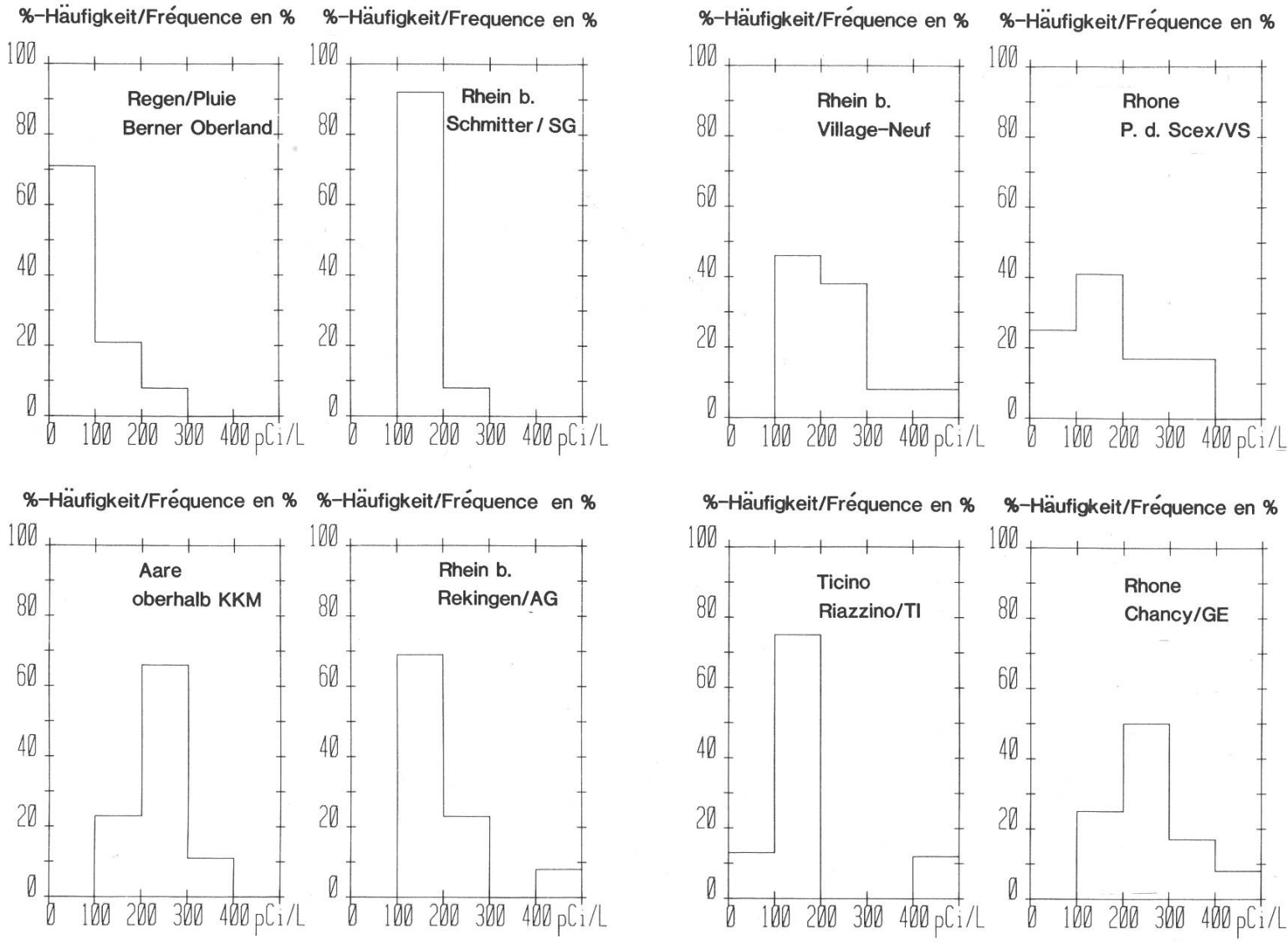


Fig. 3: Ortsdosisleistung Ufem Horn 500 m W KKW Mühleberg, gemessen mit Ionisationskammer, 1983

Débit de dose ambiante à Ufem Horn à 500 m O de la CN de Mühleberg, mesuré au moyen d'une chambre à ionisation, 1983

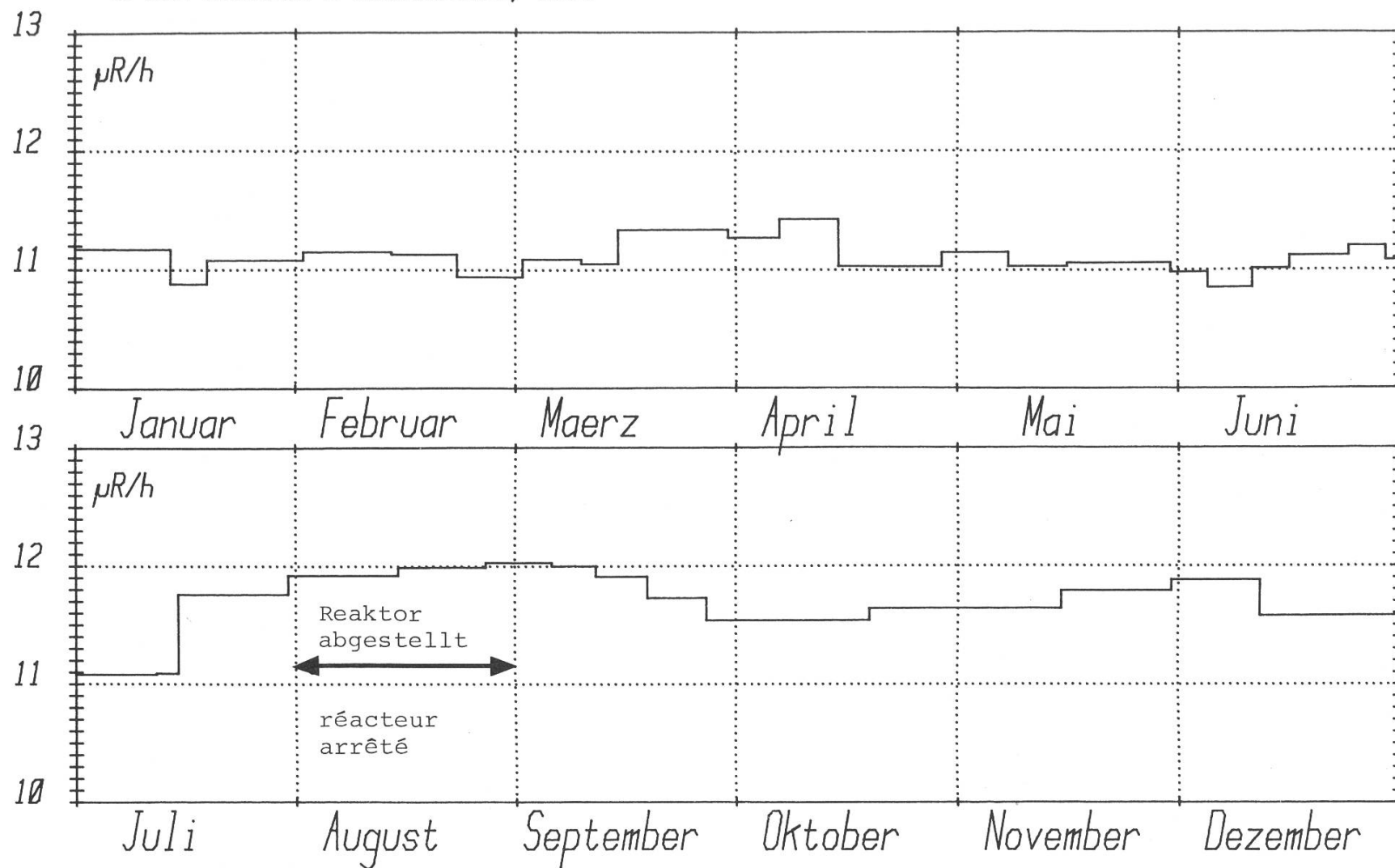


Fig. 4: Ortsdosisleistung bei der BKW-Schaltzentrale 800 m ENE des KKW Mühleberg, gemessen mit Ionisationskammer, 1983

Débit de dose ambiante près du poste de couplage des Forces motrices bernoises à 800 m ENE de la CN de Mühleberg, mesuré au moyen d'une chambre à ionisation, 1983

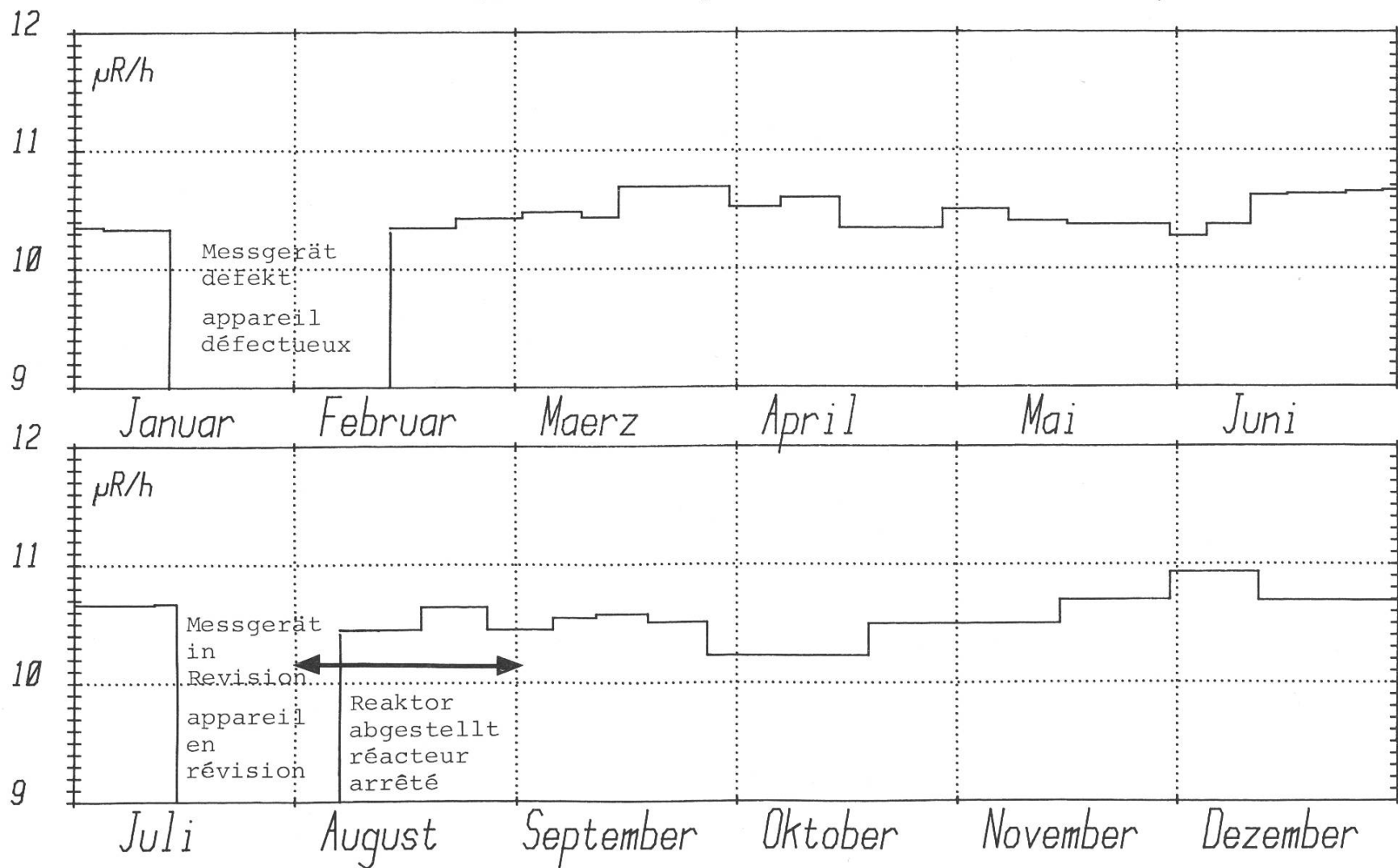


Fig. 5: Ortsdosisleistung bei der 220 kV-Schaltanlage ATEL, 800 m ENE des KKW Gösgen-Däniken, gemessen mit Ionisationskammer, 1983

Débit de dose ambiante près du poste de couplage ATEL de 220 kV à 800 m ENE de la CN de Gösgen-Däniken, mesuré au moyen d'une chambre à ionisation, 1983

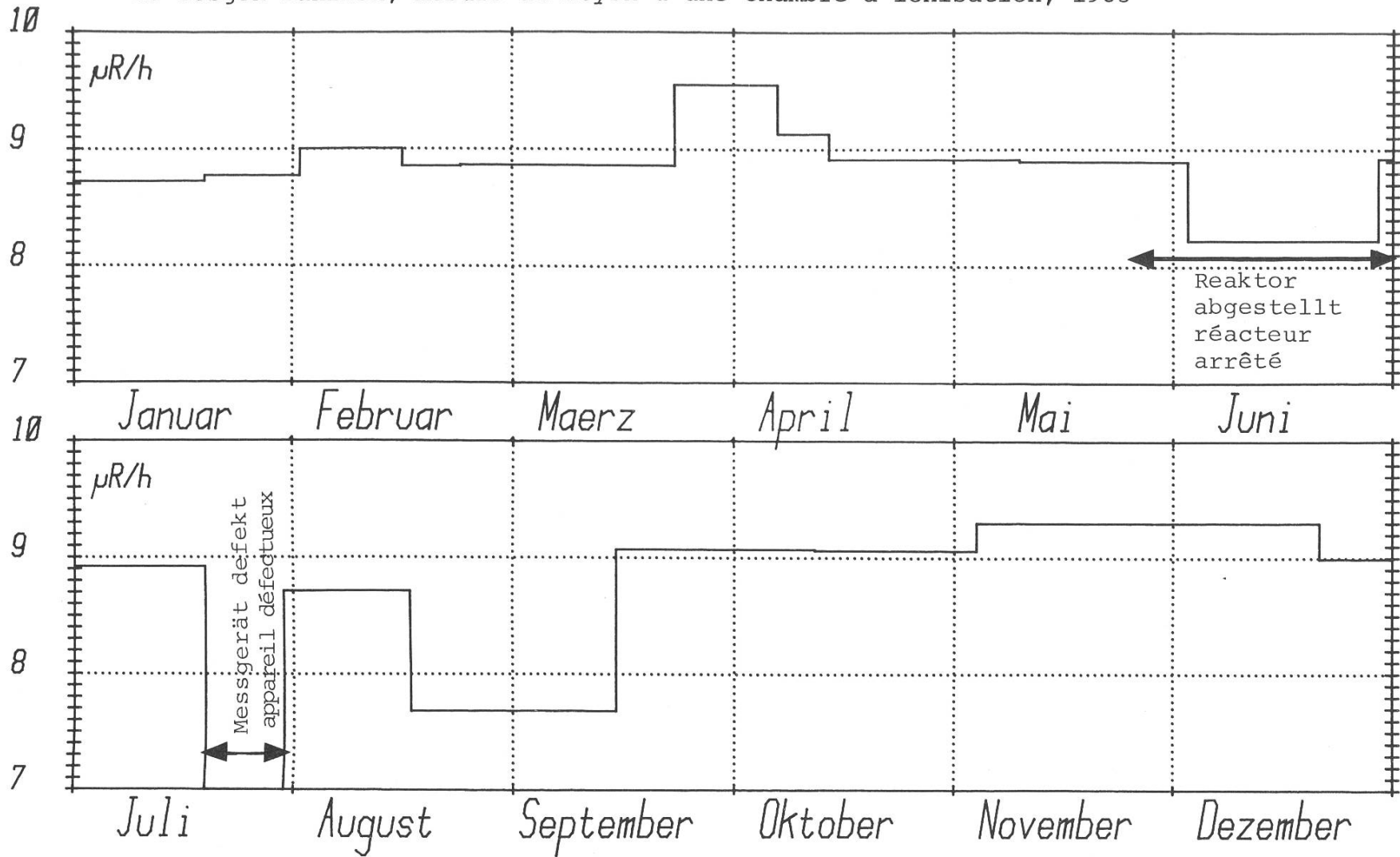


Fig. 6: Ortsdosisleistung beim Pumpwerk Full, 1000 m NE des KKW Leibstadt, gemessen mit Ionisationskammer, 1983

Débit de dose ambiante près de la station de pompage de Full à 1000 m NE de la CN de Leibstadt, mesuré au moyen d'une chambre à ionisation, 1983

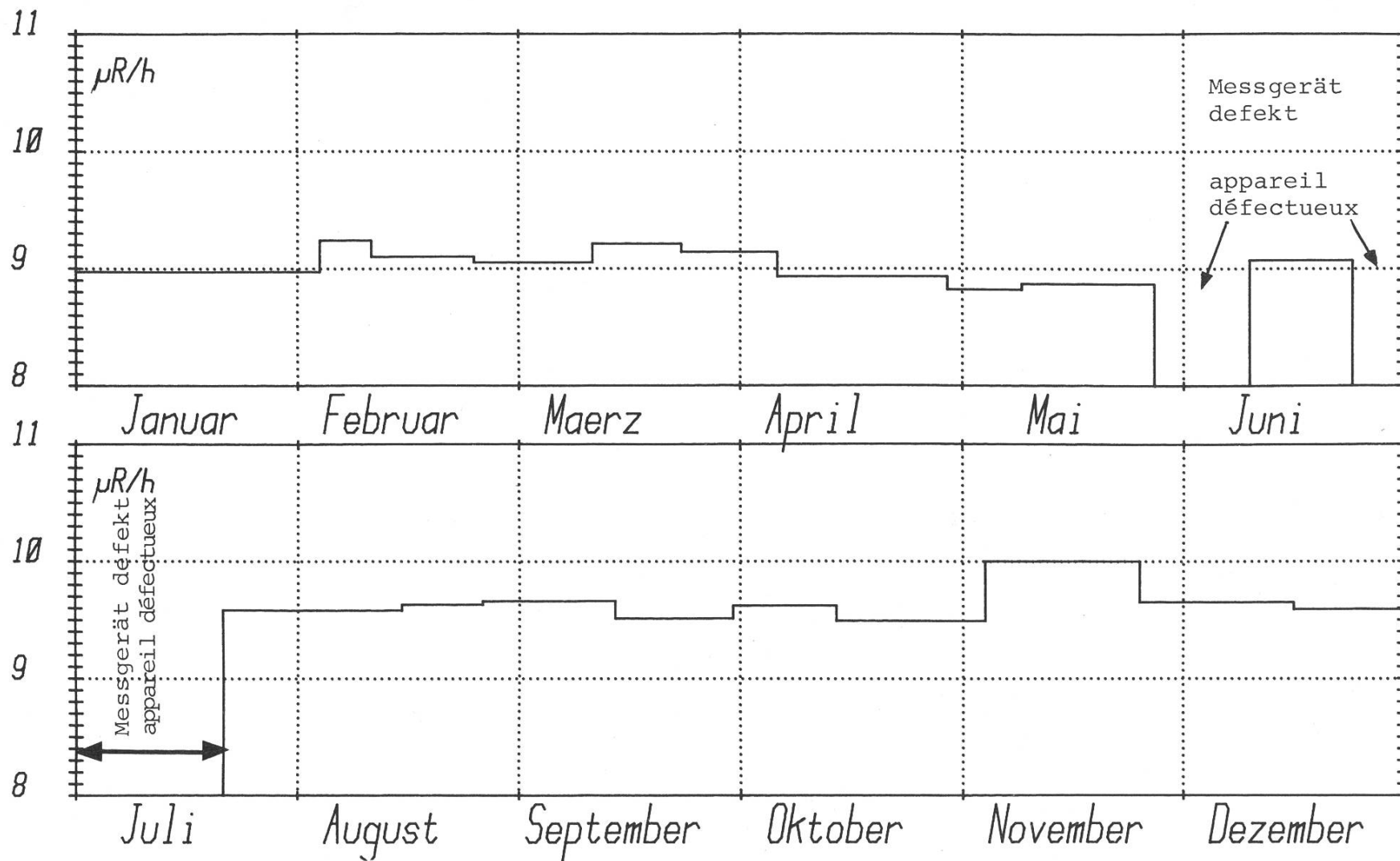
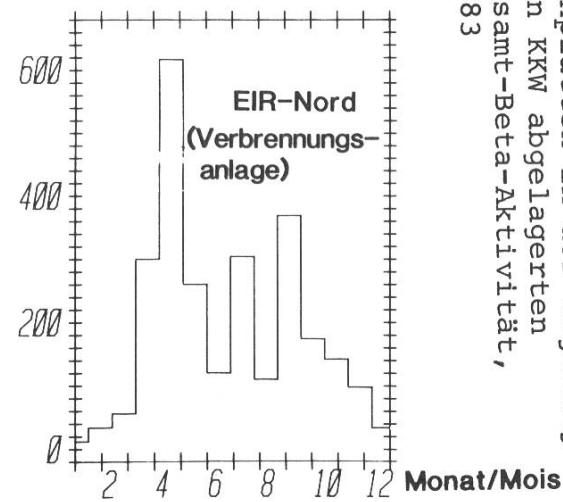


Fig. 7:

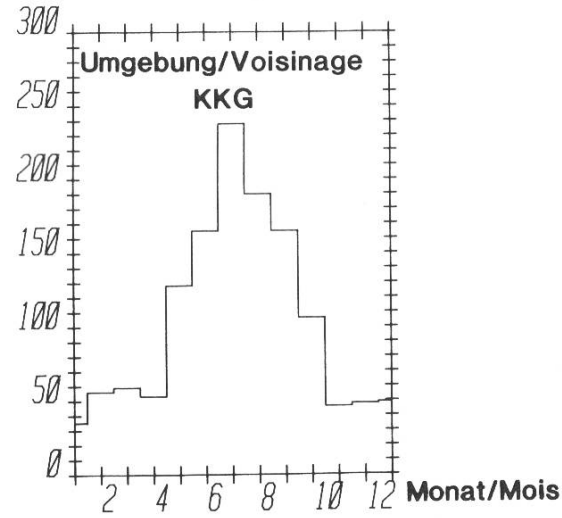
Jahresgang der auf Vase-
linplatten in der Umgebung
von KKW abgelagerten
Gesamt-Beta-Aktivität,
1983

Cours annuel de l'activité
bêta totale déposée sur
plaques de vaseline au voi-
sinage de CN, 1983

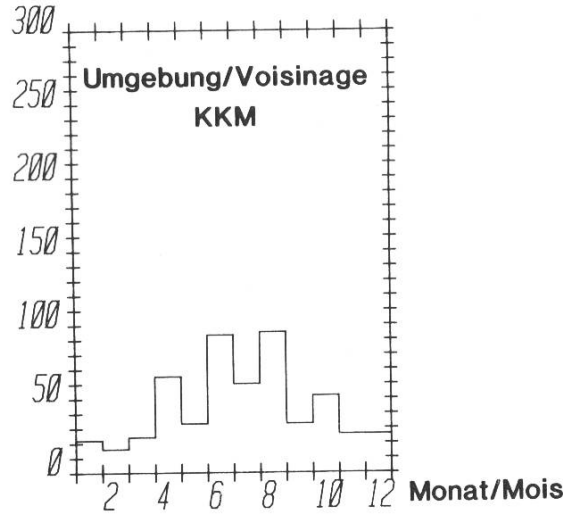
Gesamt-Beta pCi/m2 Monat
Act. bêta totale pCi/m2 mois



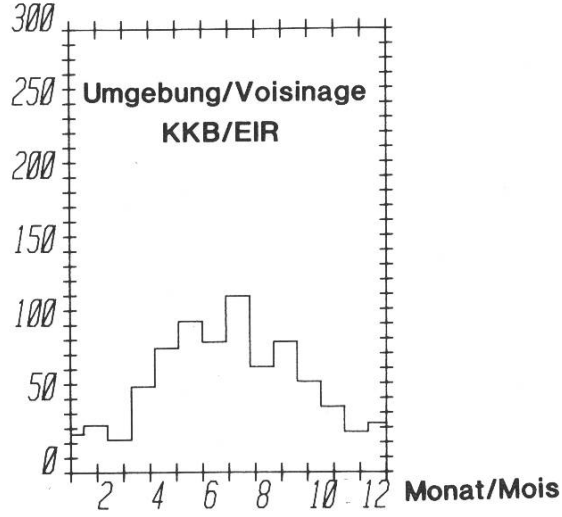
Gesamt-Beta pCi/m2 Monat
Act. bêta totale pCi/m2 mois



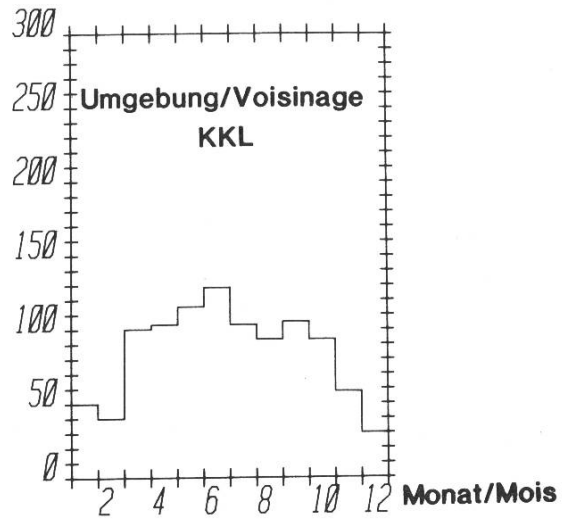
Gesamt-Beta pCi/m2 Monat
Act. bêta totale pCi/m2 mois



Gesamt-Beta pCi/m2 Monat
Act. bêta totale pCi/m2 mois



Gesamt-Beta pCi/m2 Monat
Act. bêta totale pCi/m2 mois



Gesamt-Beta pCi/m2 Monat
Act. bêta totale pCi/m2 mois

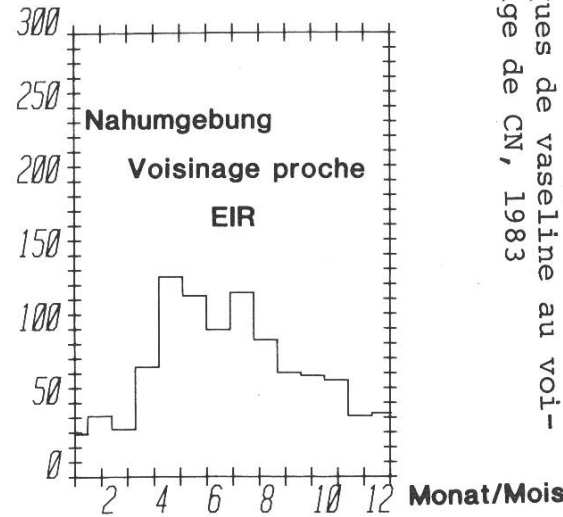


Fig. 8: Kohlenstoff-14-Gehalt in der Luft und in Buchenblättern von Referenzstationen und in der Umgebung von Kernanlagen. Die in %-Einheiten angegebene C-14-Aktivität beruht auf den $\Delta C-14$ -Werten gemäss Stuiver und Polach, Radiocarbon 19, 1977. Die Umrechnung in pCi/g C benutzt die Beziehung $100\% = 6,13 \text{ pCi/g C} = \text{natürliche C-14-Konzentration}$

Carbone-14 dans l'air et dans les feuilles de hêtres aux stations de référence et au voisinage de CN. Les activités de C-14 données en % se basent sur les valeurs $\Delta C-14$ de Stuiver et Polach, Radiocarbon 19, 1977. La transformation en pCi/g C utilise la relation: $100\% = 6,13 \text{ pCi/g C} = \text{concentration naturelle de C-14}$

pCi C-14/g C

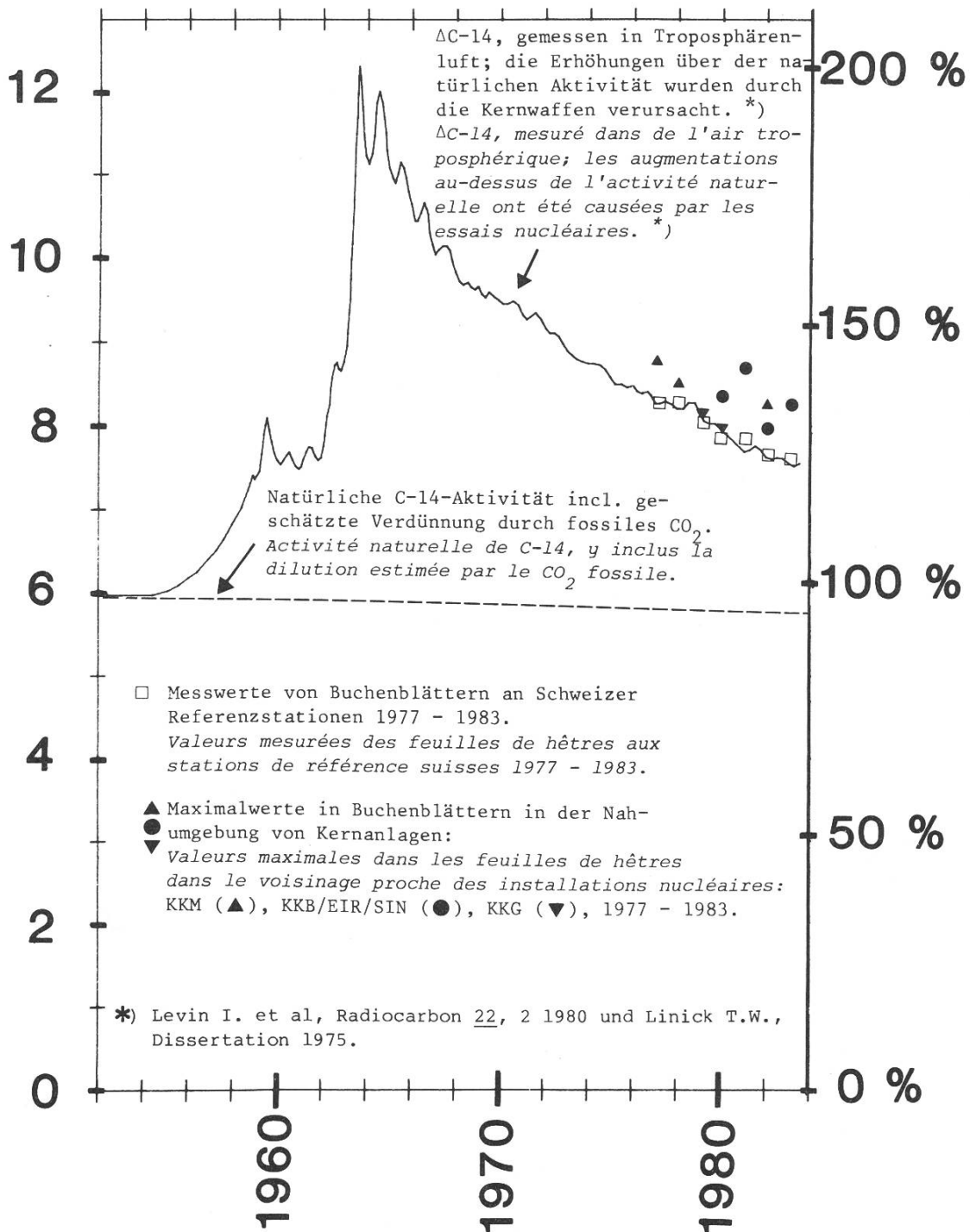
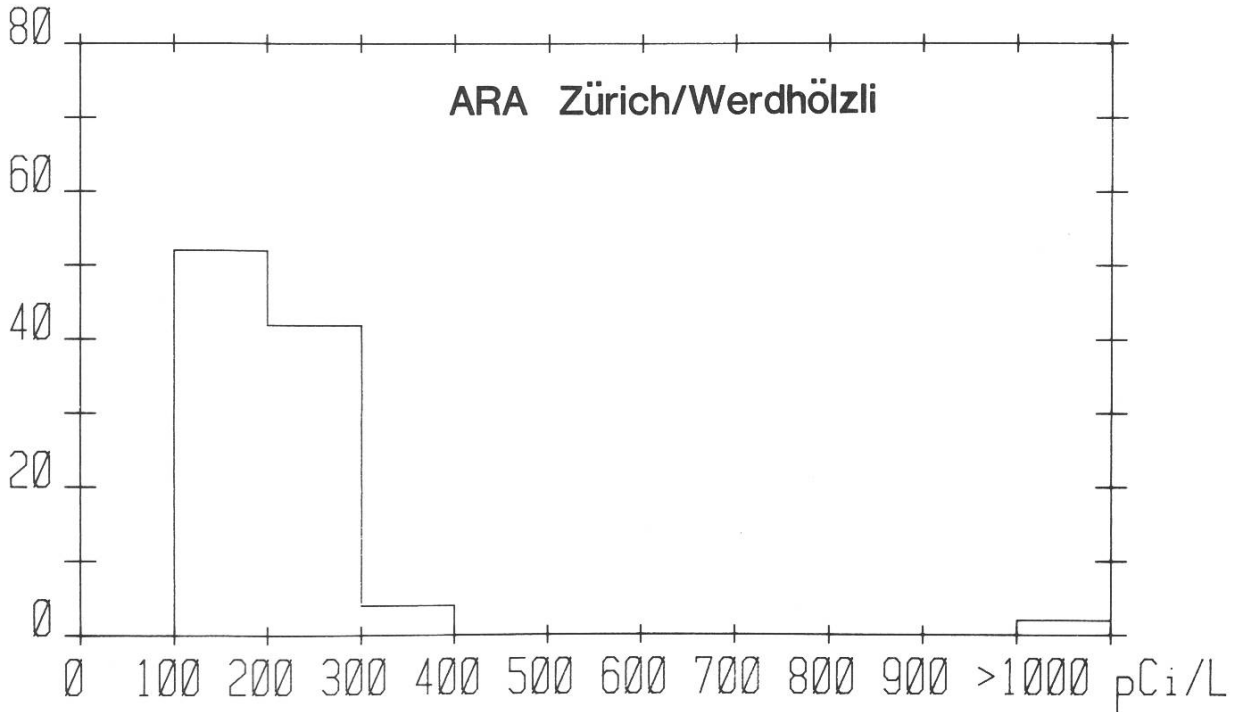


Fig. 9: Tritium-Aktivität im Wasser der ARA Zürich-Werdhölzli und Bern-Neubrück, 1983
Activité en tritium de l'eau de la STEP de Zürich-Werdhölzli et de Berne-Neubrück, 1983

%-Häufigkeit



%-Häufigkeit

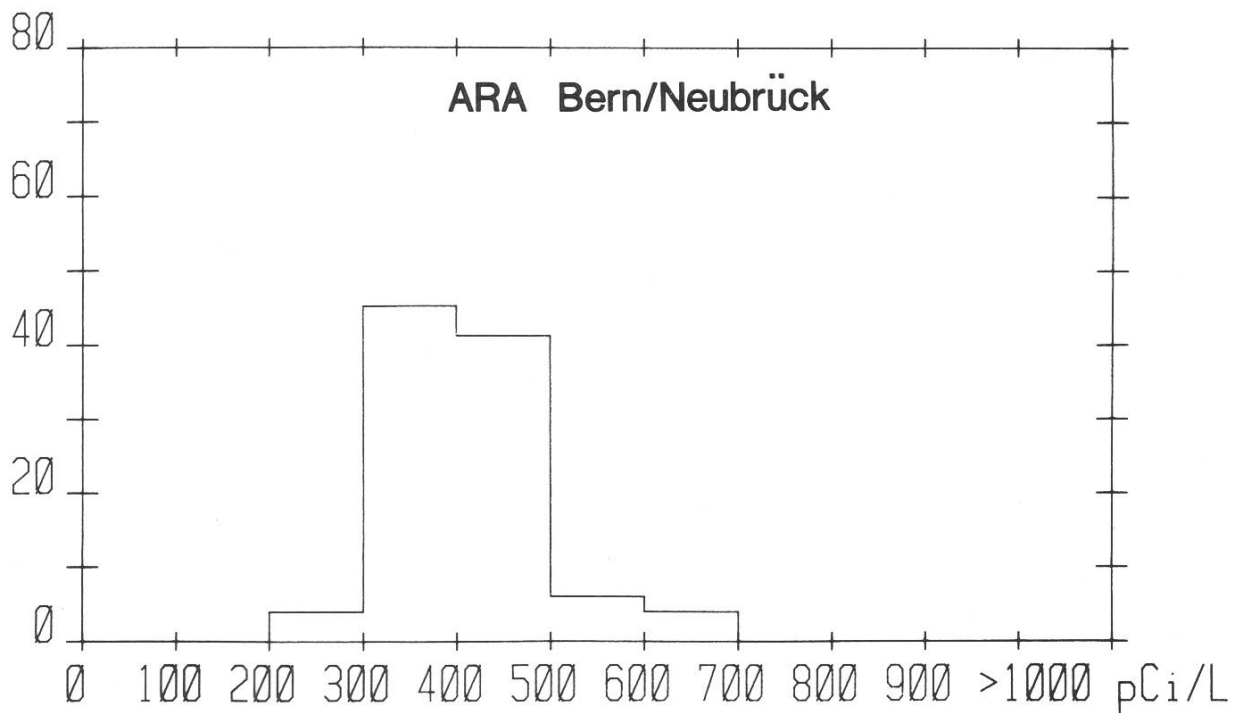


Fig. 10: Jod-131 im Wasser der ARA Zürich-Werdhölzli und Bern-Neubrück, 1983
Activité en iode-131 à la sortie de la STEP de Zürich-Werdhölzli et de Berne-Neubrück, 1983

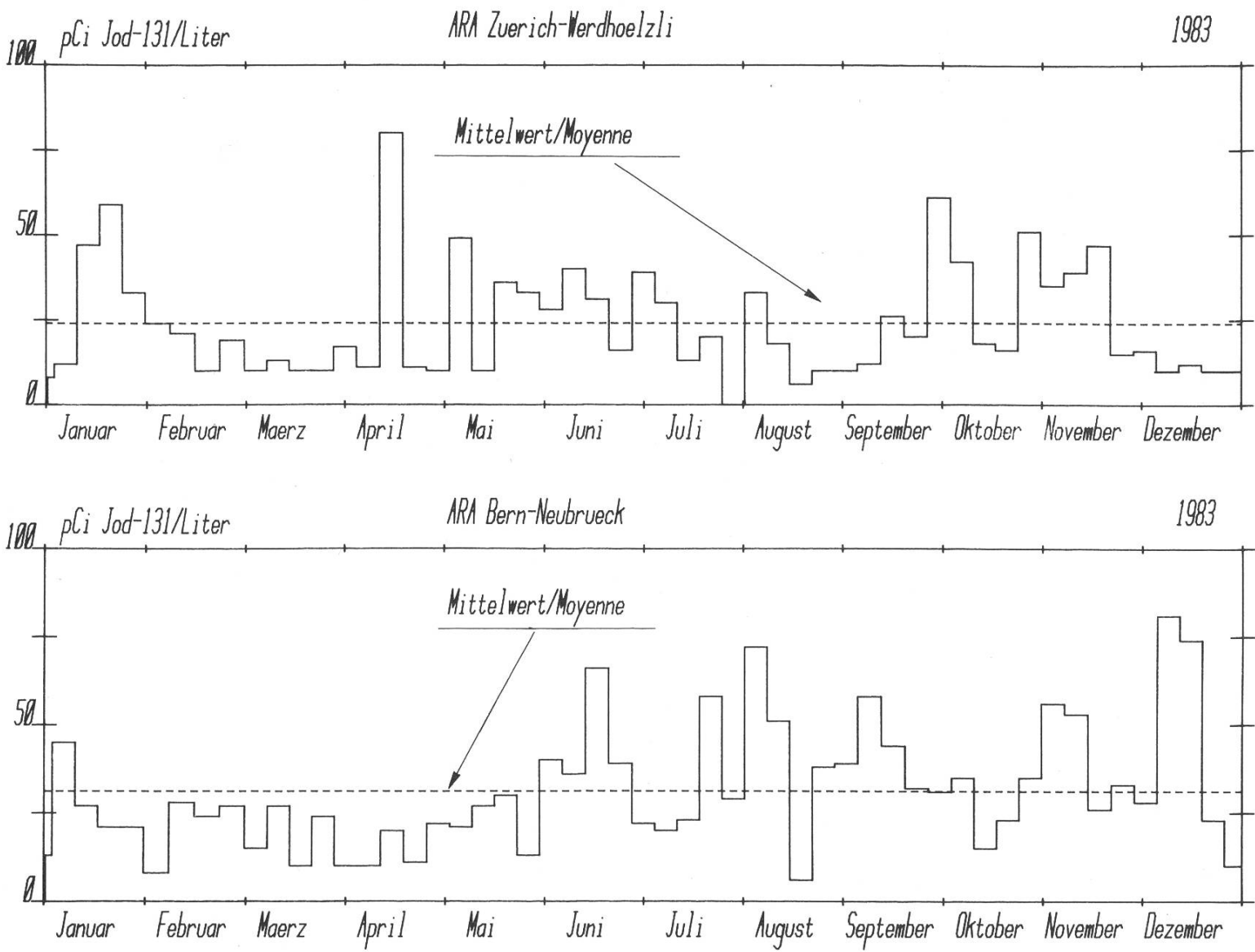


Fig. 11: Tritium im Niederschlag im Raume La Chaux-de-Fonds, 1983
Tritium dans les précipitations dans la région de
La Chaux-de-Fonds, 1983

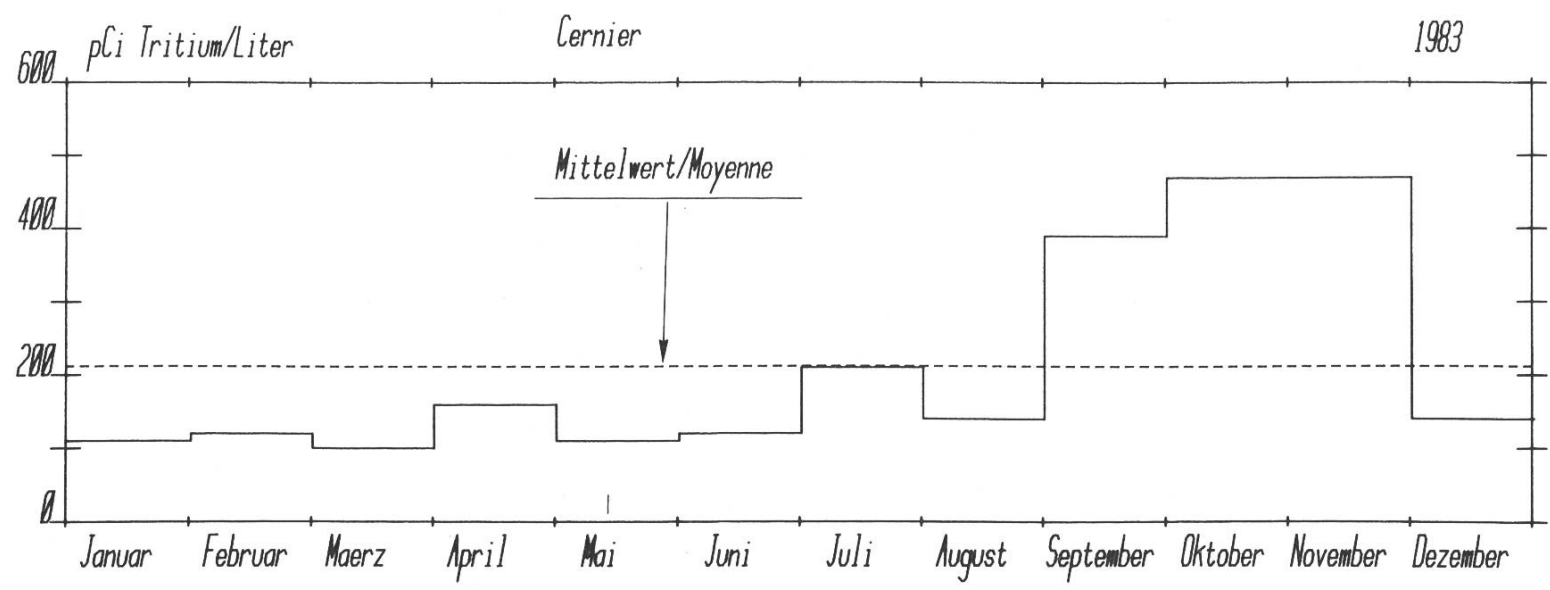
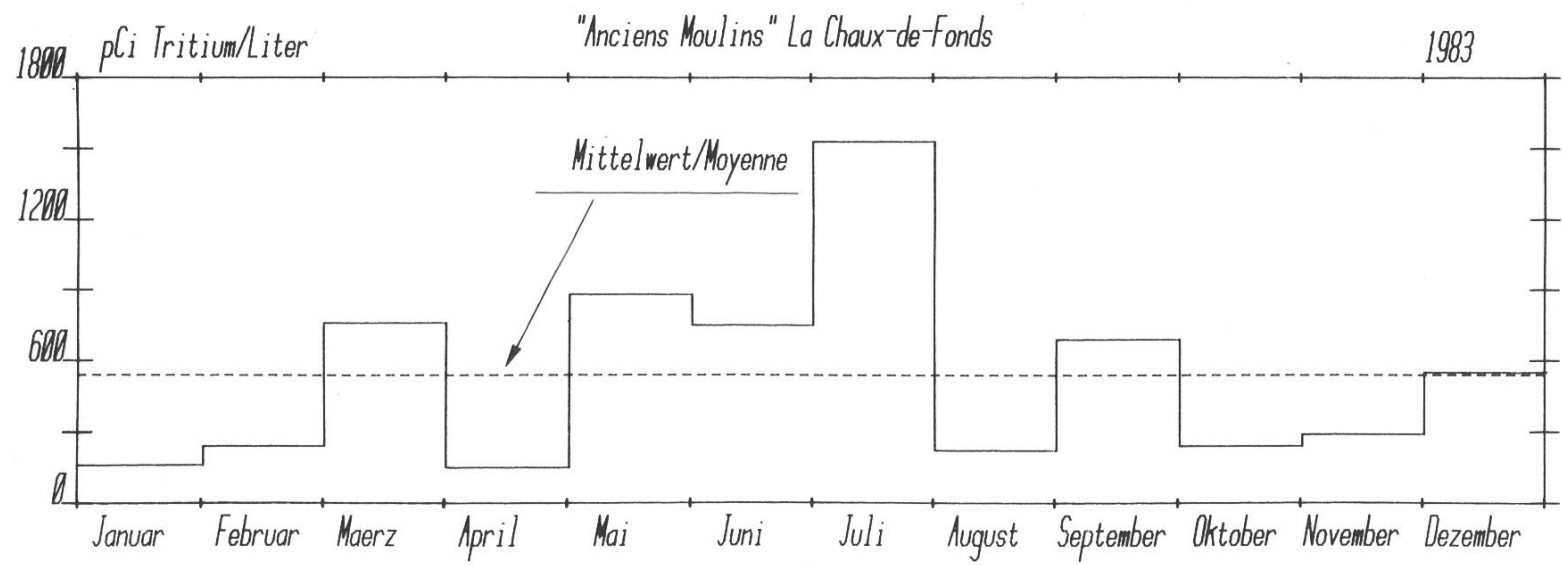
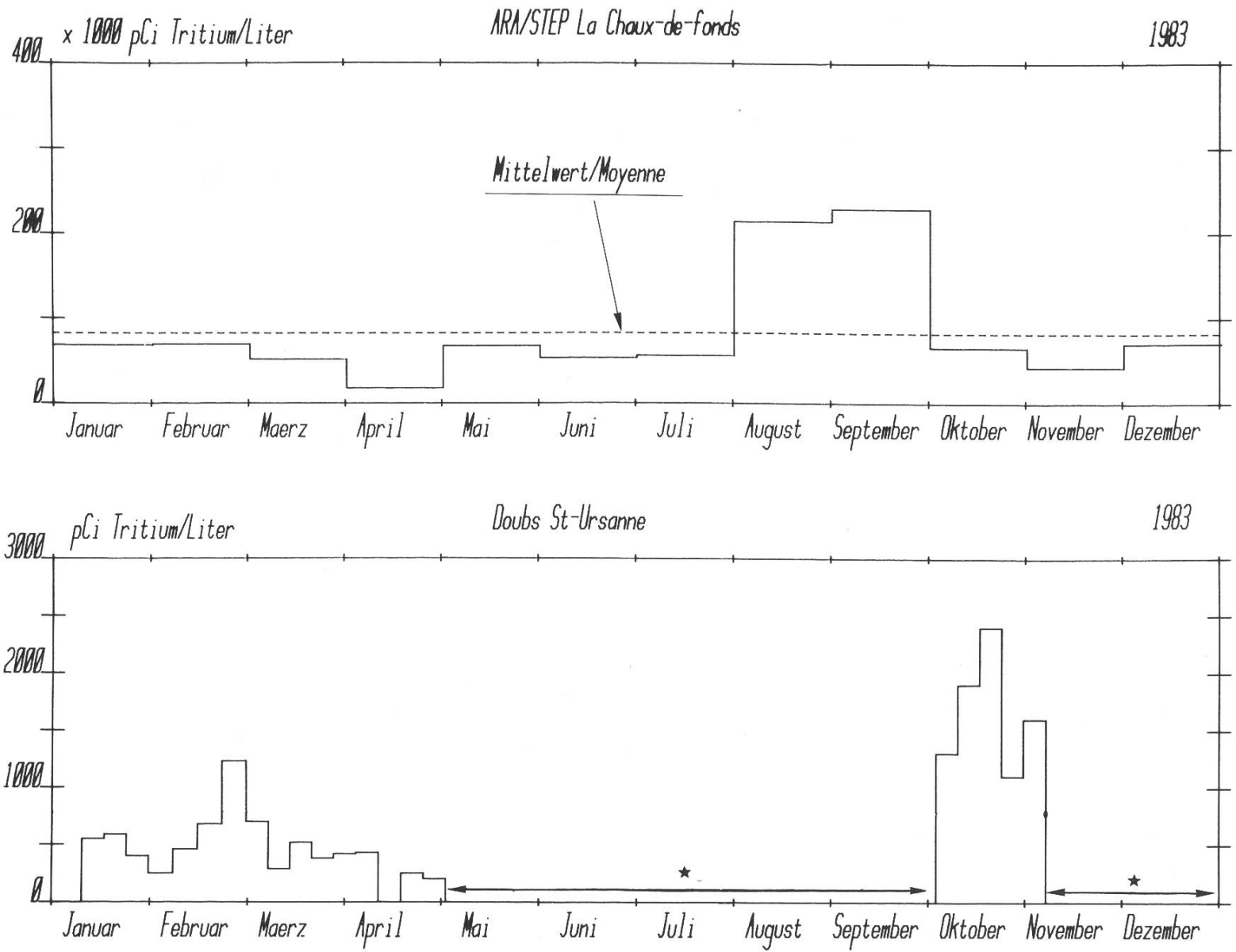


Fig. 12: Tritium im Wasser der ARA La Chaux-de-Fonds und im Doubs, 1983

Tritium dans l'eau de la STEP de La Chaux-de-Fonds et dans le Doubs, 1983



*) Sammelapparatur ausgefallen
Collecteur d'échantillons en panne

Fig. 13: Häufigkeitsverteilung des Radon-222-Gehaltes im Häusern von La Chaux-de-Fonds: Wohnbereich und Keller
Fréquence des teneurs en radon-222 dans les habitations de La Chaux-de-Fonds: pièces habitées et cave

*) Umrechnung in effektive Aequivalentdosis, siehe Seite 8

*) Calcul de l'équivalent de dose effectif, voir page 79

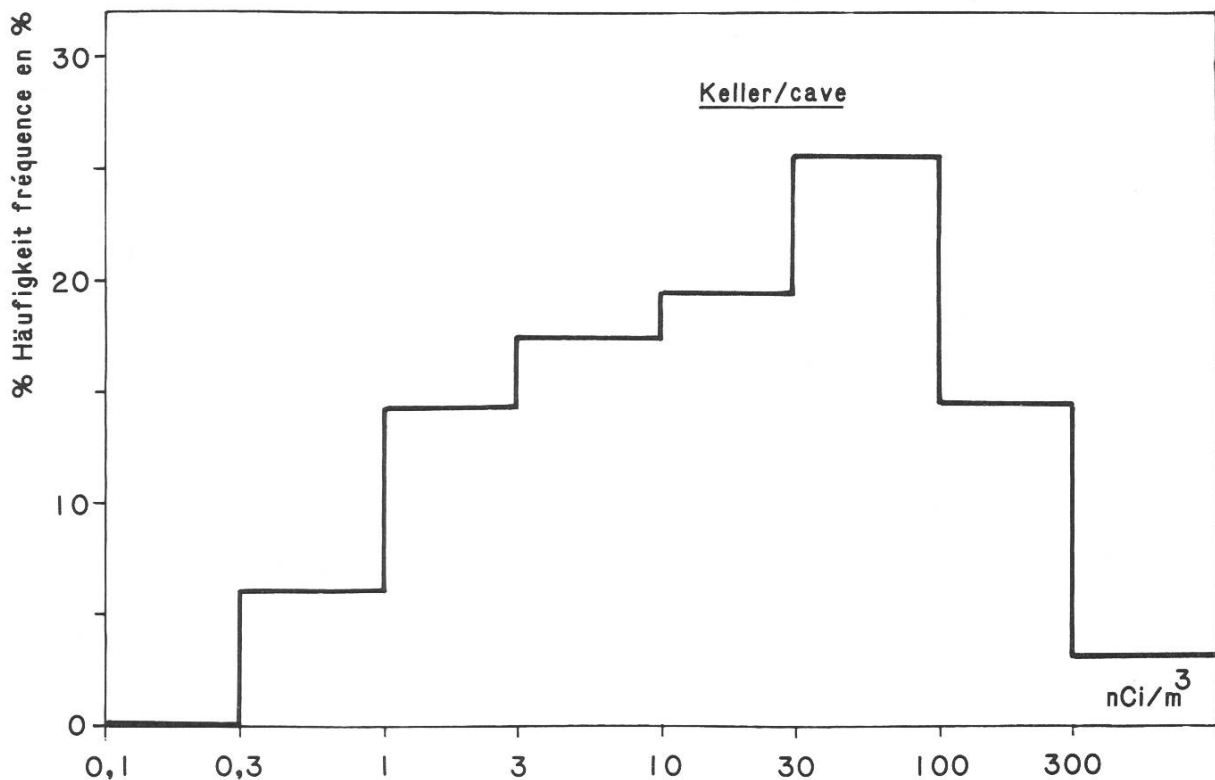
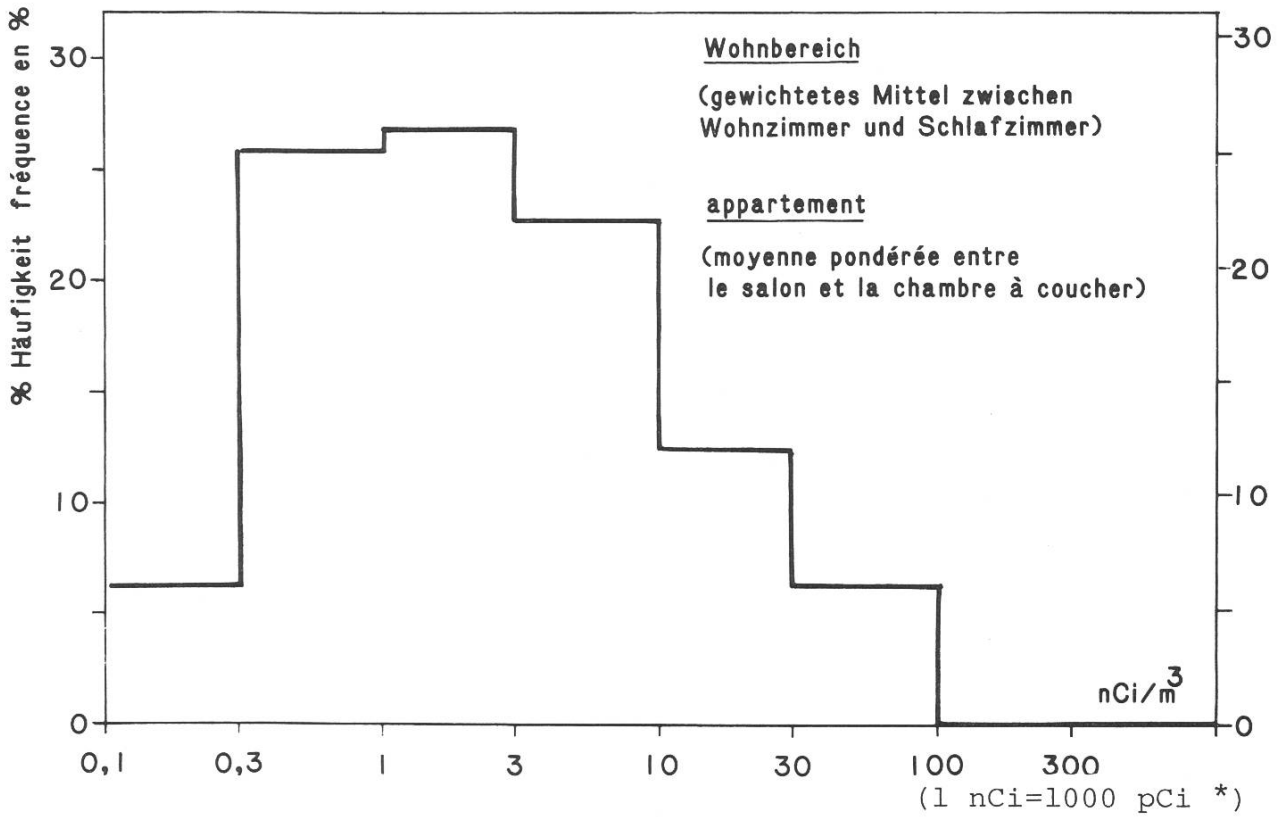


Fig. 14: Tritium-Abgaben von MB Microtec Niederwangen/BE und Tritium-Gehalt im Niederschlag an vier Stellen in der Umgebung dieses Betriebes und von zwei Referenzstationen, 1983; (----- = Mittelwerte)
Rejets en tritium de MB Microtec SA à Niederwangen/BE et tritium dans les précipitations prélevées en 4 endroits du voisinage de l'entreprise et aux 2 stations de référence 1983; (----- = valeur moyenne)

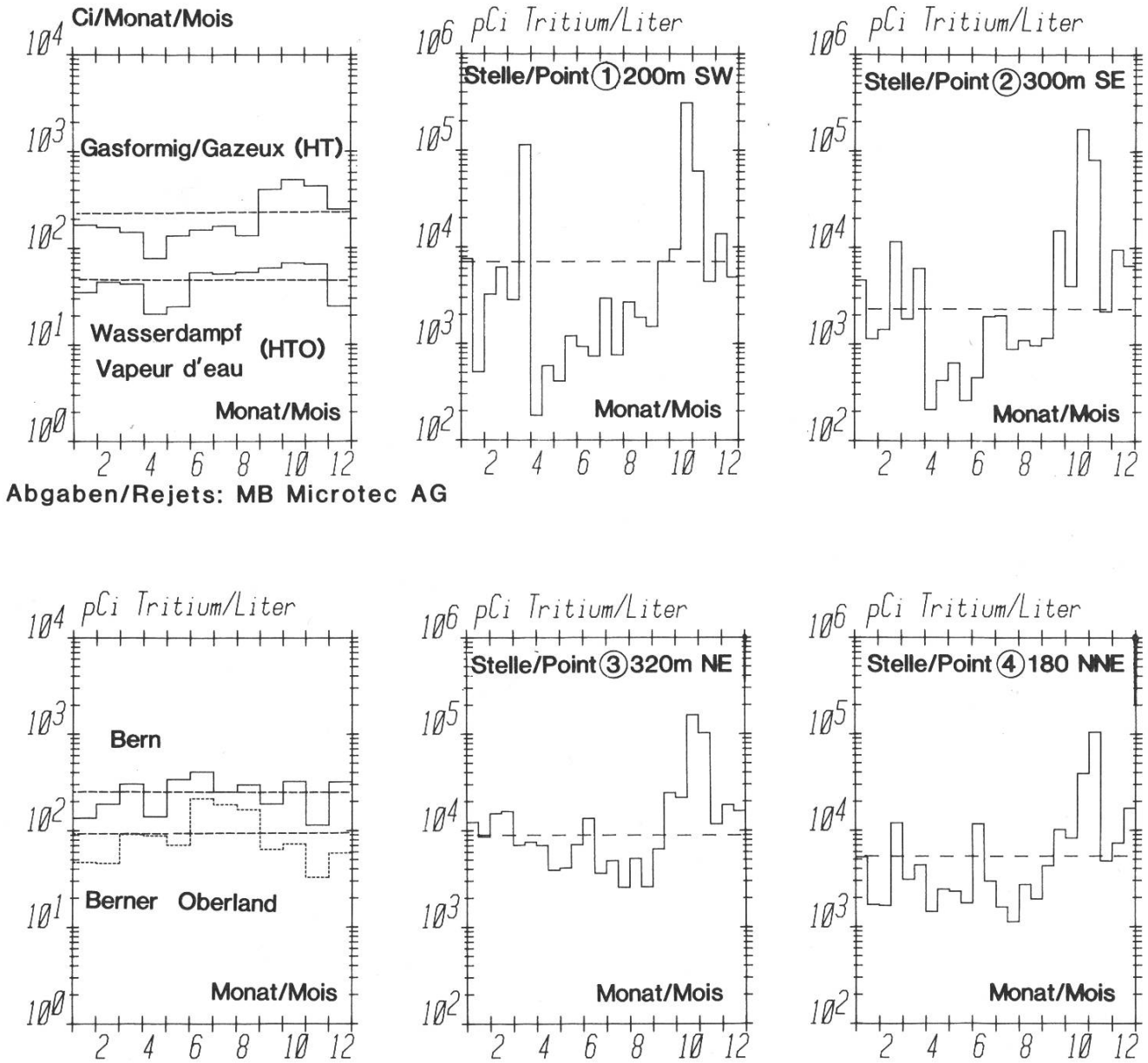
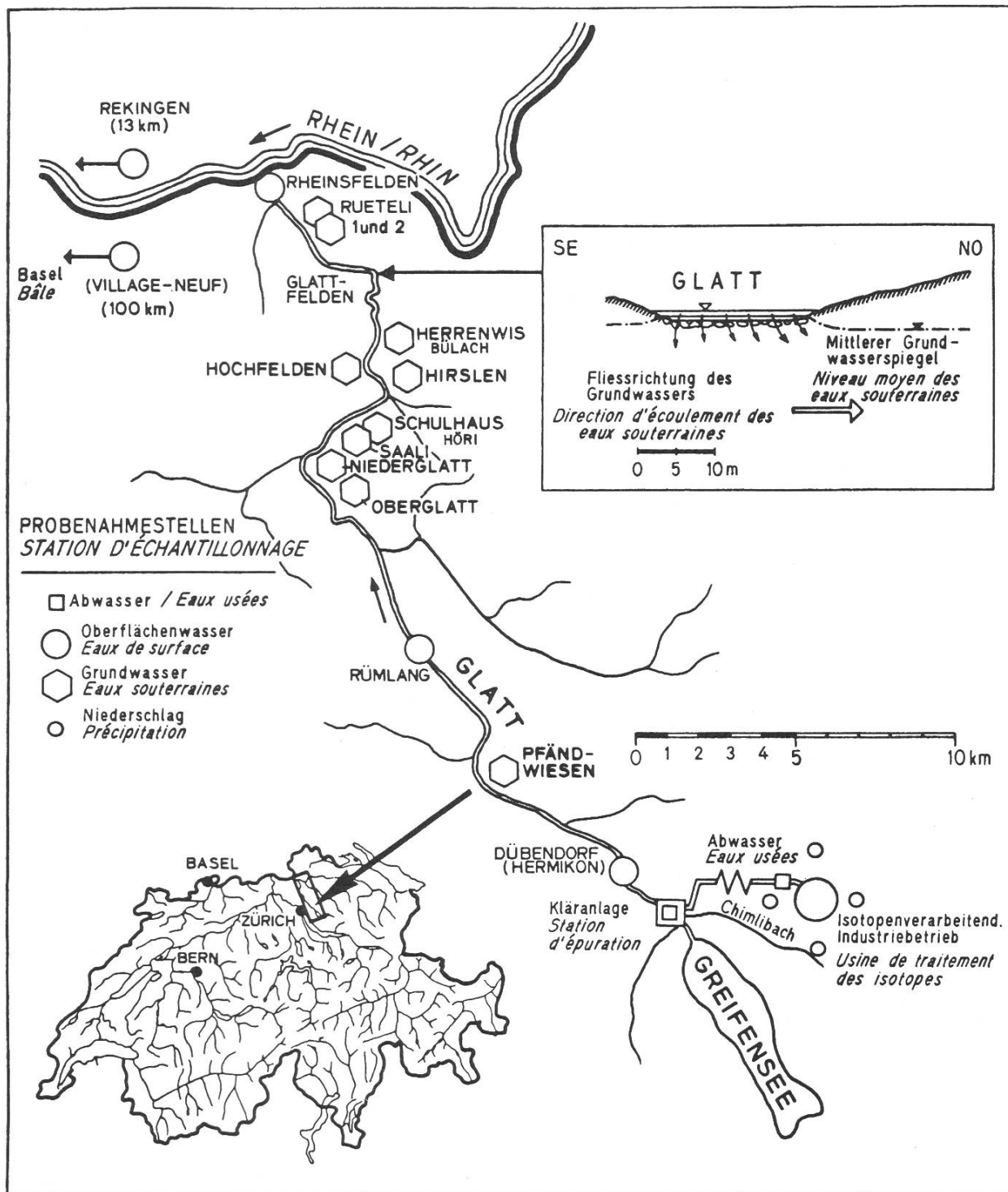


Fig. 15a: Probenahmestellen für die Tritiummessungen in Fluss- und Grundwasser nach dem Tritium-Zwischenfall im Dezember 1983 bei der Firma CERBERUS in Volketswil/ZH

Lieux de prélèvement pour les mesures de tritium des eaux fluviales et des eaux de la nappe phréatique, à la suite de l'incident-tritium en décembre 1983 à la fabrique CERBERUS à Volketswil/ZH



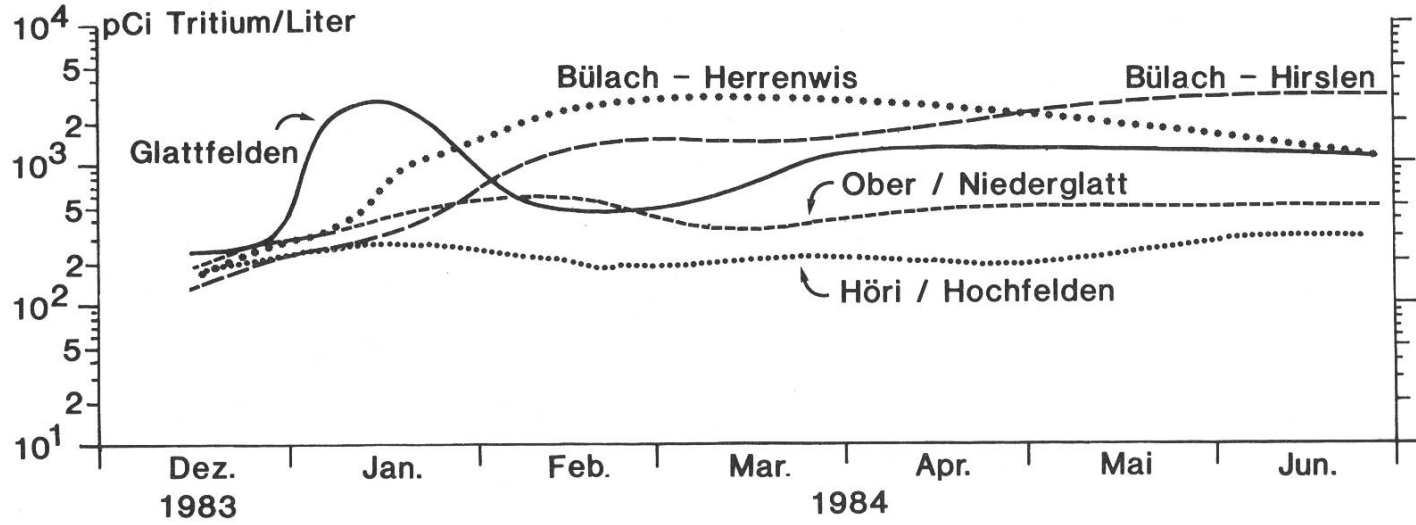
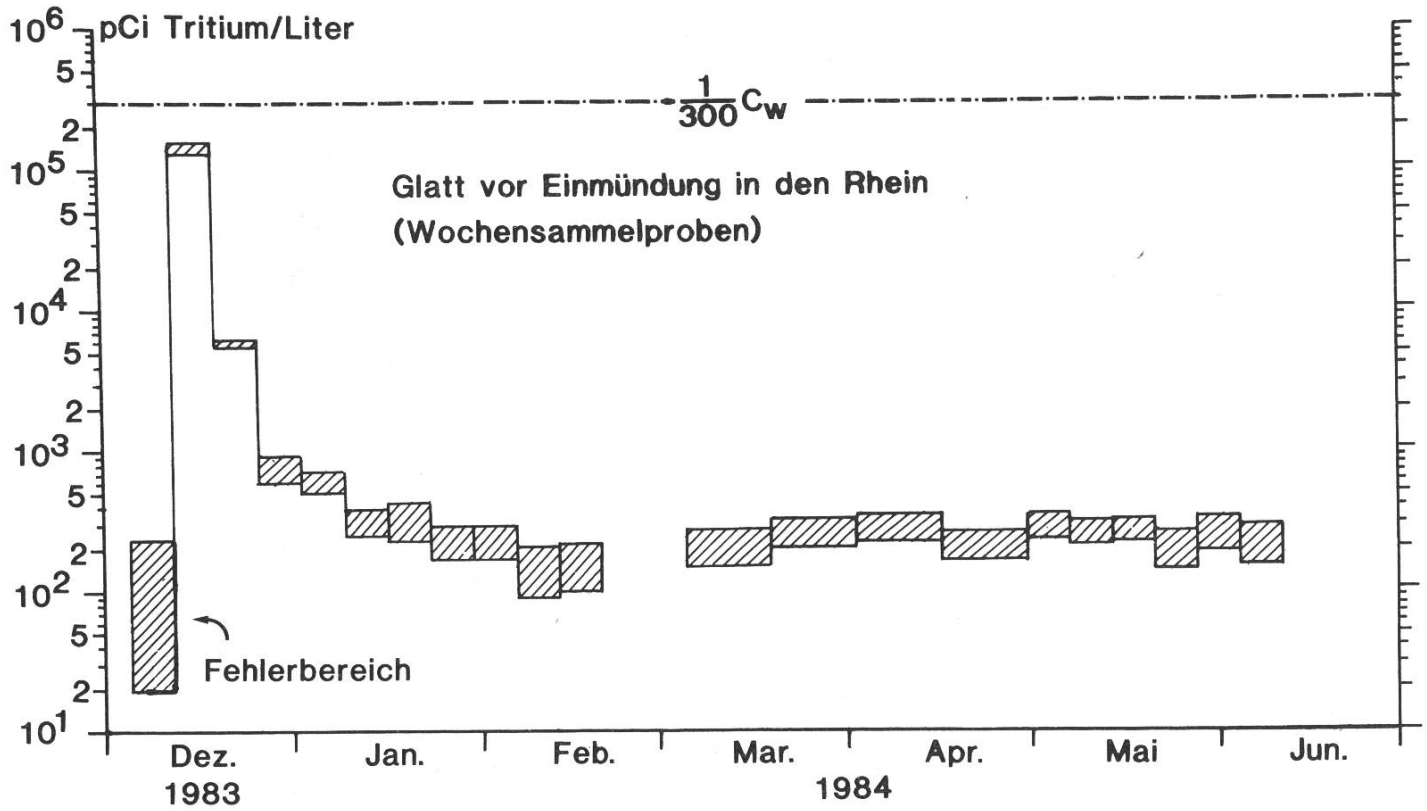


Fig. 15b: Tritium-Gehalt im Wasser der Glatt und von verschiedenen Grundwasserbrunnen im unteren Glatt-Tal nach dem Tritium-Zwischenfall bei der Firma CERBERUS in Volketswil im Dezember 1983

Teneur en tritium dans l'eau de la Glatt et dans différentes stations de pompage d'eau de la nappe phréatique de la vallée en aval après l'incident-tritium survenu à la fabrique CERBERUS à Volketswil en décembre 1983

1/300 C_w = Richtwert für Vorfluter gemäss SSVÖ.
Valeur directrice pour l'effluent selon l'ORP.